



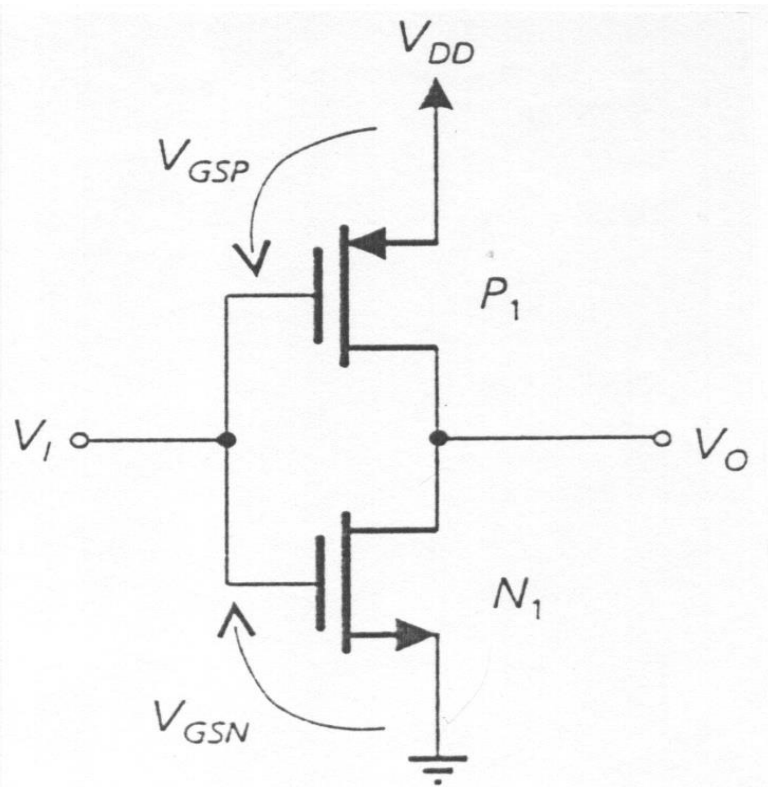
UNIVERSITÀ
DEGLI STUDI DI TRIESTE



I circuiti logici CMOS

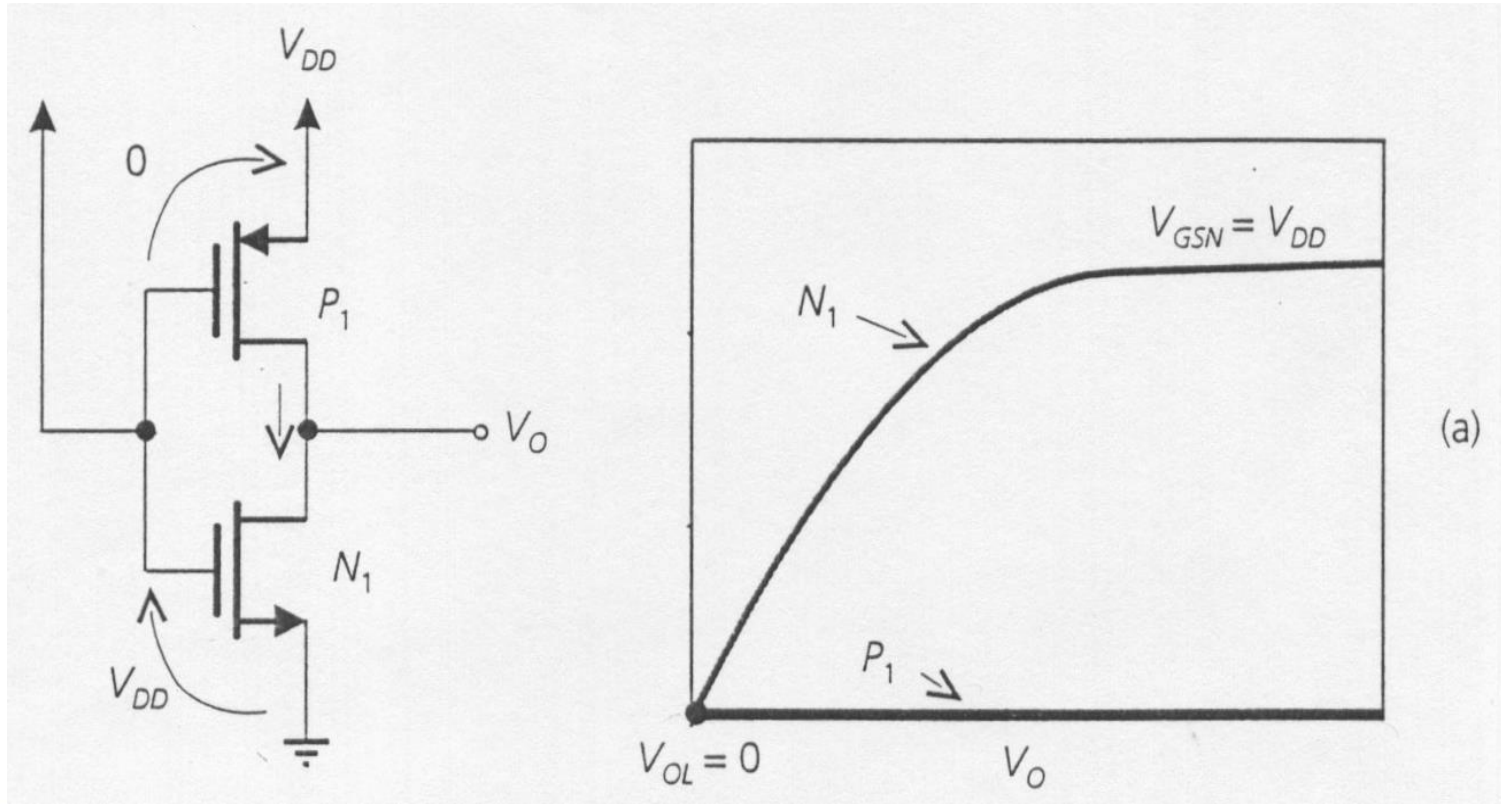
A.Carini – Elettronica digitale

L'invertitore CMOS

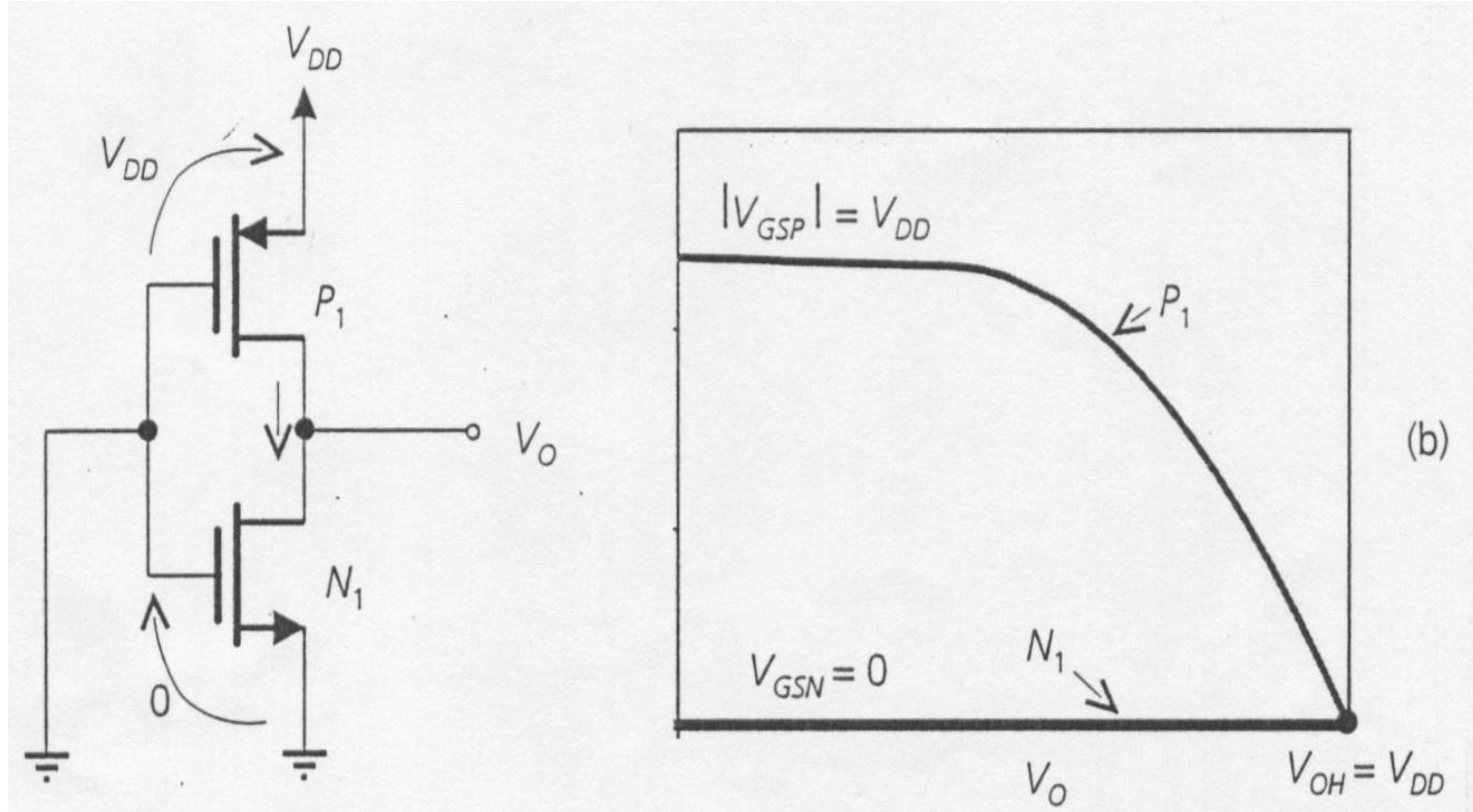


$$V_{GSN} = V_I$$
$$|V_{GSP}| = V_{DD} - V_I$$

$$V_I = V_{DD}$$



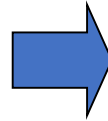
$$V_i = 0$$



Caratteristica di Trasferimento

Ipotesi:

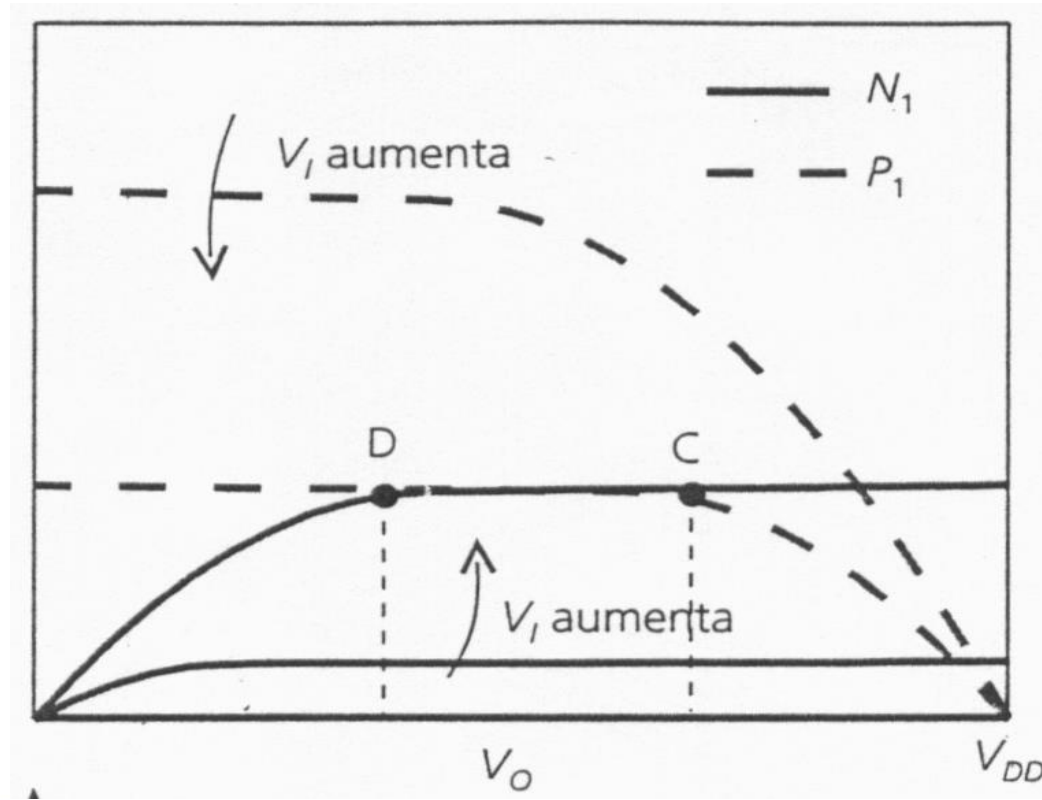
$$K_N = K_P = K$$



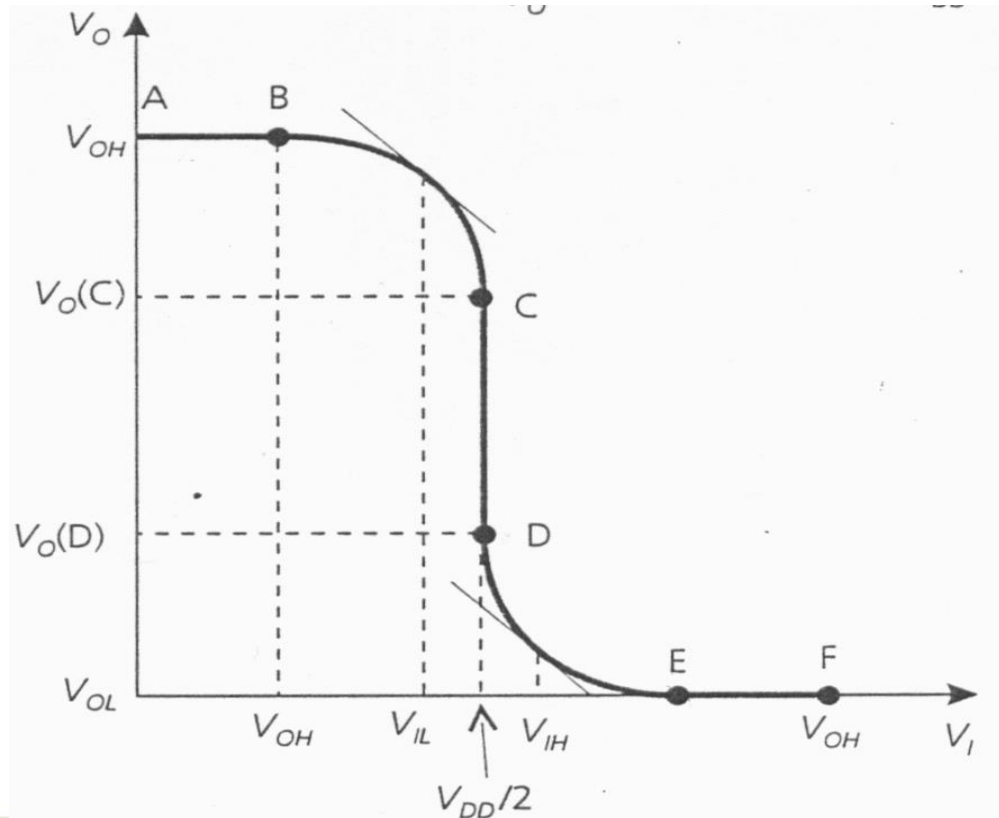
$$\left. \frac{W}{L} \right|_P = 2.5 \left. \frac{W}{L} \right|_N$$

$$V_{TN} = |V_{TP}| = V_T$$

Caratteristica di Trasferimento



Caratteristica di Trasferimento



Caratteristica di Trasferimento

- A-B : NMOS interdetto, PMOS in r. triodo
- B-C : NMOS r. pinch-off, PMOS in r. triodo
 - Qui cade V_{IL}
- C-D : NMOS e PMOS in r. pinch-off
 - Qui abbiamo V_{SL}
- D-E : NMOS in r. triodo, PMOS in pinch-off
 - Qui cade V_{IH}
- E-F : NMOS in r. triodo, PMOS interdetto

Caratteristica di Trasferimento

$$V_{SL} = \frac{V_{DD}}{2}$$

- Calcolo di $V_O(C)$ $V_I = \frac{V_{DD}}{2}$

$$|V_{DSP}| = |V_{GSP}| - |V_{TP}|$$

$$V_{DD} - V_O(C) = V_{DD} - V_I - V_T$$

$$\Rightarrow V_O(C) = \frac{V_{DD}}{2} + V_T$$

Caratteristica di Trasferimento

- Calcolo di $V_O(D)$

$$V_I = \frac{V_{DD}}{2}$$

$$V_{DSN} = V_{GSN} - V_T$$



$$V_O(D) = \frac{V_{DD}}{2} - V_T$$

Calcolo di V_{IH}

- NMOS in r. triodo, PMOS in pinch-off

$$I_{DN} = I_{DP}$$

$$2 (V_I - V_T) V_O - V_O^2 = (V_{DD} - V_I - V_T)^2 \quad (*)$$

- Derivando:

$$\begin{aligned} 2 (V_I - V_T) \frac{dV_O}{dV_I} + 2 V_O - 2 V_O \frac{dV_O}{dV_I} &= \\ &= -2 (V_{DD} - V_I - V_T) \end{aligned}$$

Calcolo di V_{IH}

- Imponiamo:

$$\frac{dV_O}{dV_I} = -1$$

$$-2 (V_{IH} - V_T) + 4 V_O = -2 (V_{DD} - V_{IH} - V_T)$$

$$V_{IH} = V_O + \frac{V_{DD}}{2}$$

- E sostituendo nella (*):

$$V_O = \frac{1}{4} \left(\frac{V_{DD}}{2} - V_T \right)$$



$$V_{IH} = \frac{1}{4} \left(\frac{5 V_{DD}}{2} - V_T \right)$$

Calcolo di V_{IL}

- Per la simmetria:

$$V_{IH} - \frac{V_{DD}}{2} = \frac{V_{DD}}{2} - V_{IL}$$



$$V_{IL} = \frac{1}{4} \left(\frac{3 V_{DD}}{2} + V_T \right)$$

Riassumendo

$$V_{OH} = V_{DD}$$

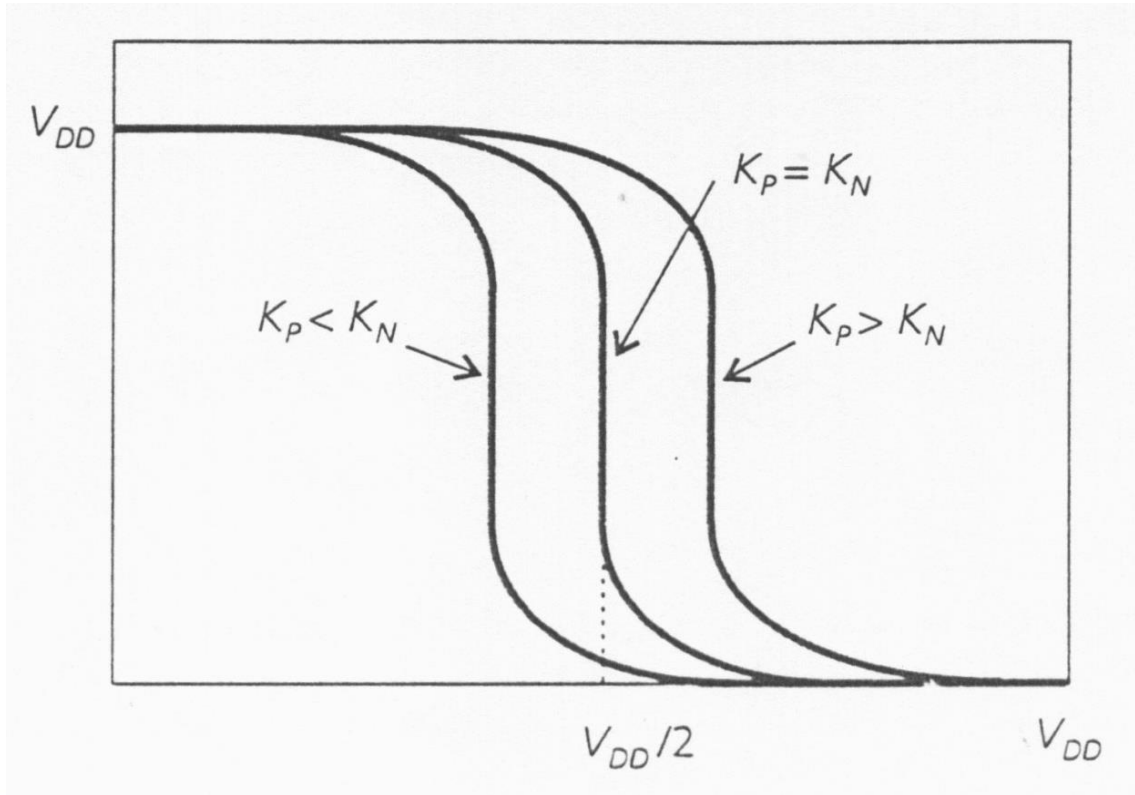
$$V_{OL} = 0$$

$$V_{IH} = \frac{1}{4} \left(\frac{5 V_{DD}}{2} - V_T \right)$$

$$V_{IL} = \frac{1}{4} \left(\frac{3 V_{DD}}{2} + V_T \right)$$

$$NM_H = NM_L = \frac{3}{8} V_{DD} + \frac{1}{4} V_T$$

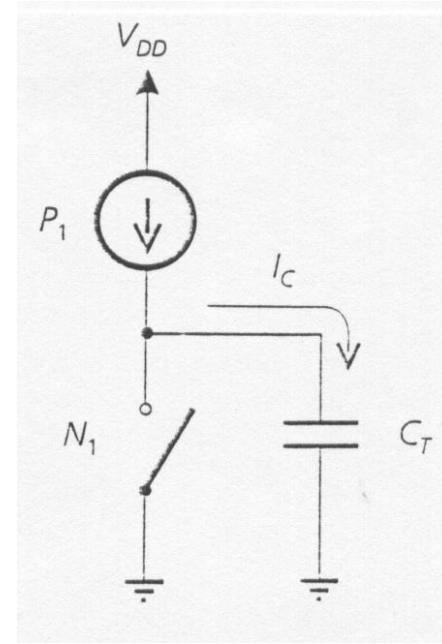
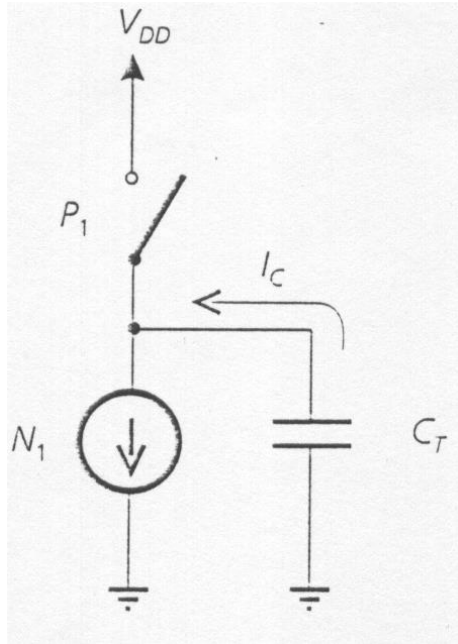
In assenza di simmetria



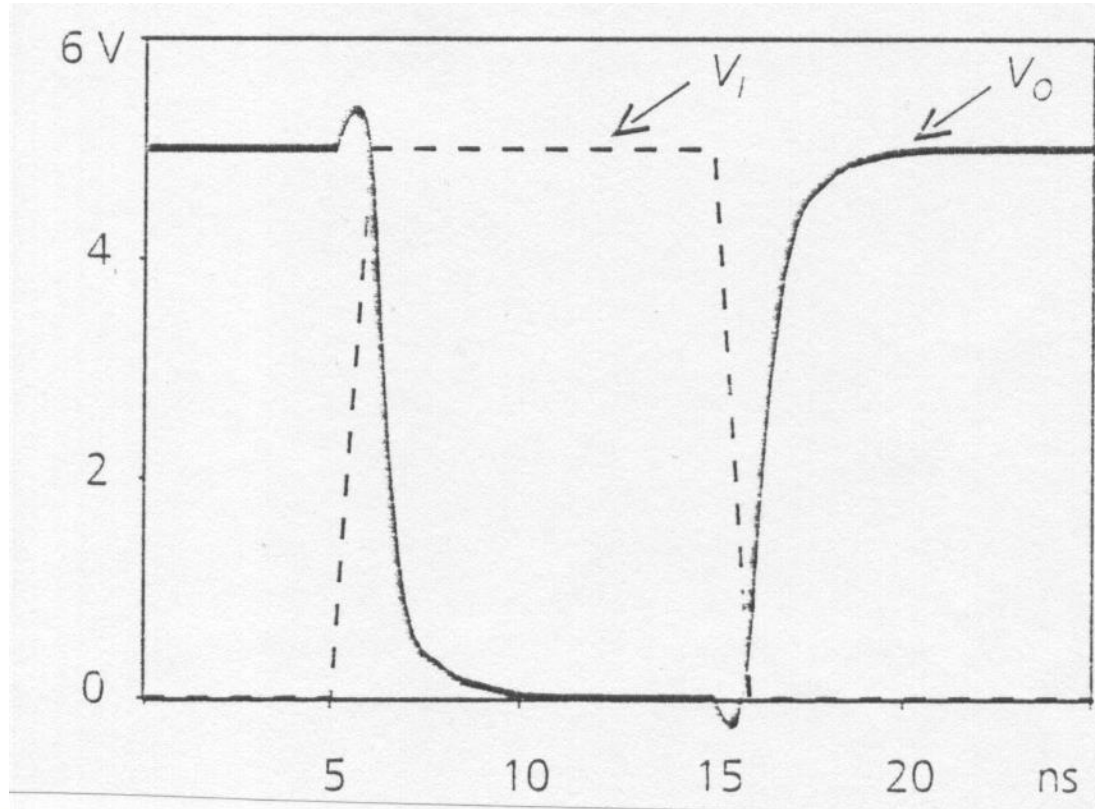
Capacità totale di gate del carico

$$\begin{aligned}C_{GT} &= C_{GN} + C_{GP} \\ &= C_{OX}(W_N L_N + W_P L_P) \\ &= C_{OX}(W_N L_N + 2.5 W_N L_N) \\ &= 3.5 C_{GN}\end{aligned}$$

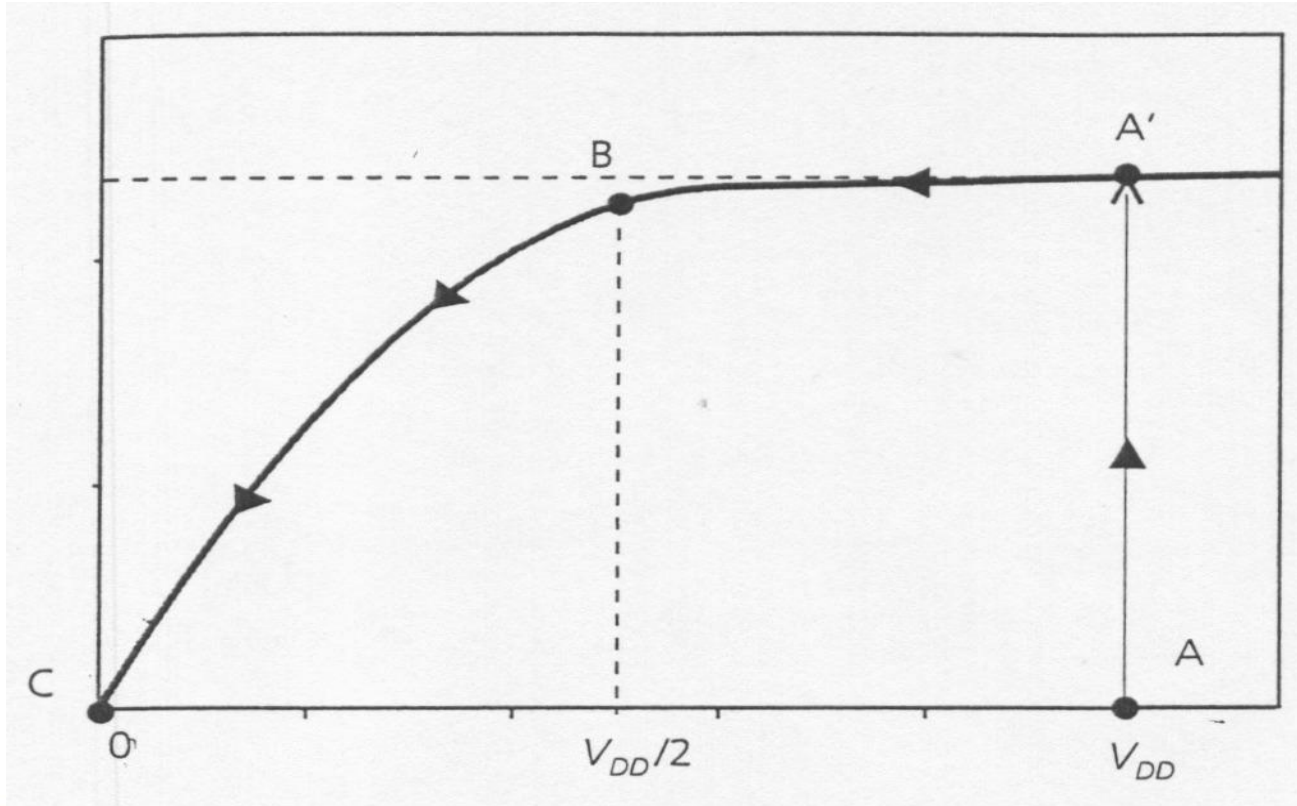
Comportamento dinamico



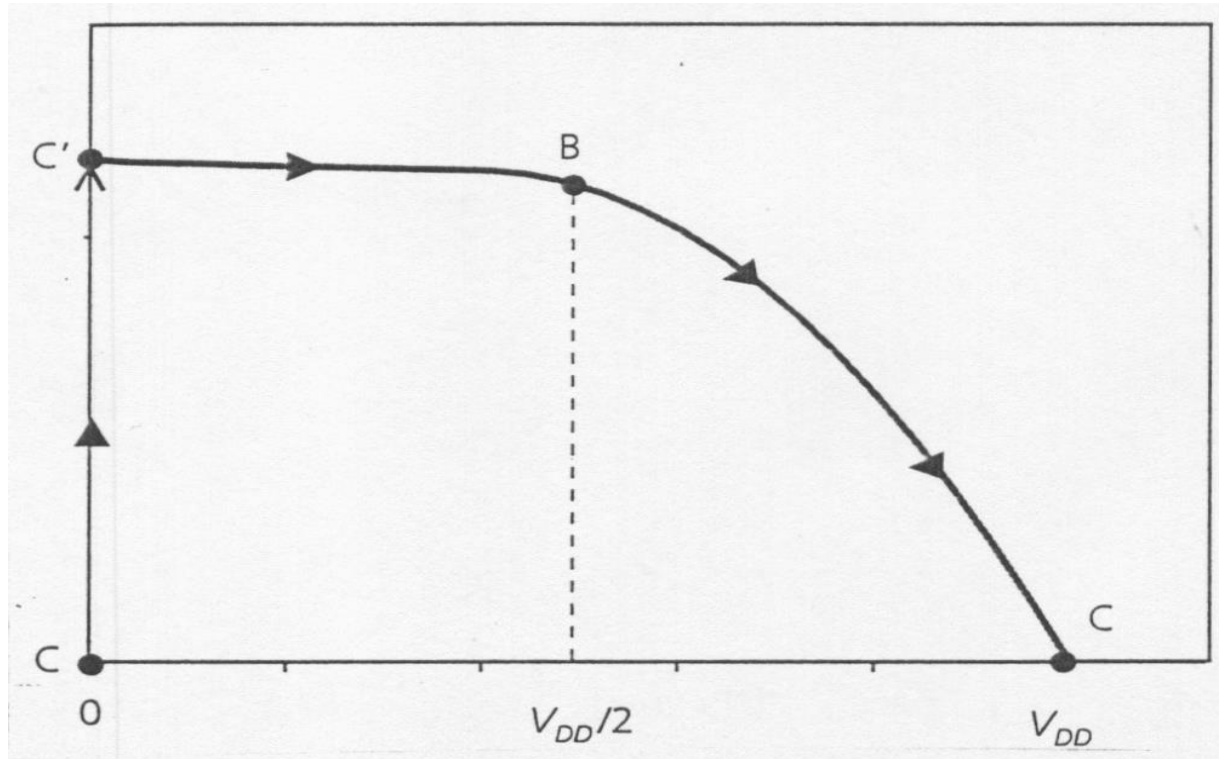
Comportamento dinamico



Passaggio da Alto a Basso

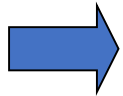


Passaggio da Basso a Alto



Tempi di propagazione

- A' - B : $I_N = K_N (V_{DD} - V_{TN})^2$
- C' - B : $I_P = K_P (V_{DD} - |V_{TP}|)^2$
- Ipotesi: $K_N = K_P$, $V_{TN} = |V_{TP}|$



$$\begin{aligned} t_P = t_{PHL} = t_{PLH} &\cong \frac{C_T (V_{OH} - V_{OL})}{2 I_H} \\ &= \frac{C_T V_{DD}}{2 K_N (V_{DD} - V_T)^2} \end{aligned}$$

Tempi di propagazione

$$t_P = \frac{3.5 C_{GN} V_{DD}}{2 K_N (V_{DD} - V_T)^2}$$

$$t_P \propto \frac{C_{GN}}{K_N} = \frac{C_{OX} W_N L_N}{k_N W_N / L_N} \propto L_N^2$$

Tempi di propagazione

- E se ... $\left. \frac{W}{L} \right|_N = \left. \frac{W}{L} \right|_P$
- Capacità di carico: $C_T = 2 C_{GN}$

$$t_{PHL} = \frac{2 C_{GN} V_{DD}}{2 K_N (V_{DD} - V_T)^2}$$

$$t_{PLH} = \frac{2 C_{GN} V_{DD}}{2 K_P (V_{DD} - V_T)^2}$$

Tempi di propagazione

$$K_P = K_N/2.5$$

$$\begin{aligned} t_P &= \frac{t_{PHL} + t_{PLH}}{2} = \frac{C_{GN}V_{DD}}{K_N(V_{DD} - V_T)^2} \frac{1 + 2.5}{2} \\ &= \frac{3.5 C_{GN}V_{DD}}{2 K_N(V_{DD} - V_T)^2} \end{aligned}$$

Potenza dissipata

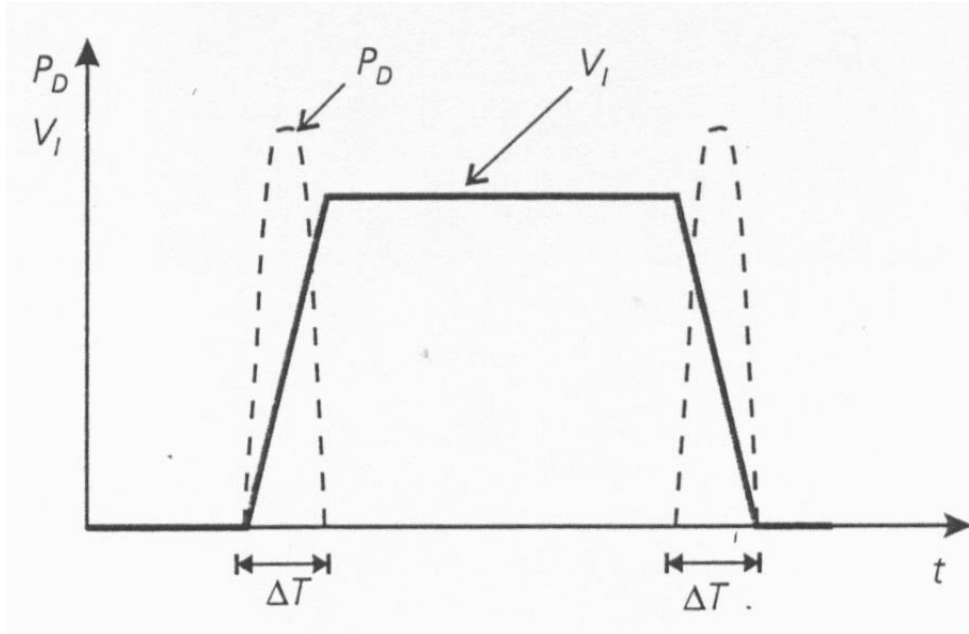
- Sola potenza dissipata dinamica:

$$P_{Dd} = \frac{1}{T} \left[\int_{\Delta T_{HL}} V^+ i dt + \int_{\Delta T_{LH}} V^+ i dt \right]$$

- Due contributi:
 - Contributo dovuto alla corrente che circola nei due MOS nelle fasi di transizione, P_D'
 - Contributo dovuto alla corrente di carica della capacità di uscita, P_D''
- Ipotesi:
 - Invertitore simmetrico $\Delta T_{HL} = \Delta T_{LH} = \Delta T$

Potenza dissipata

$$P_{Dd} = \frac{2}{T} \int_{\Delta T} V^+ i(t) dt$$



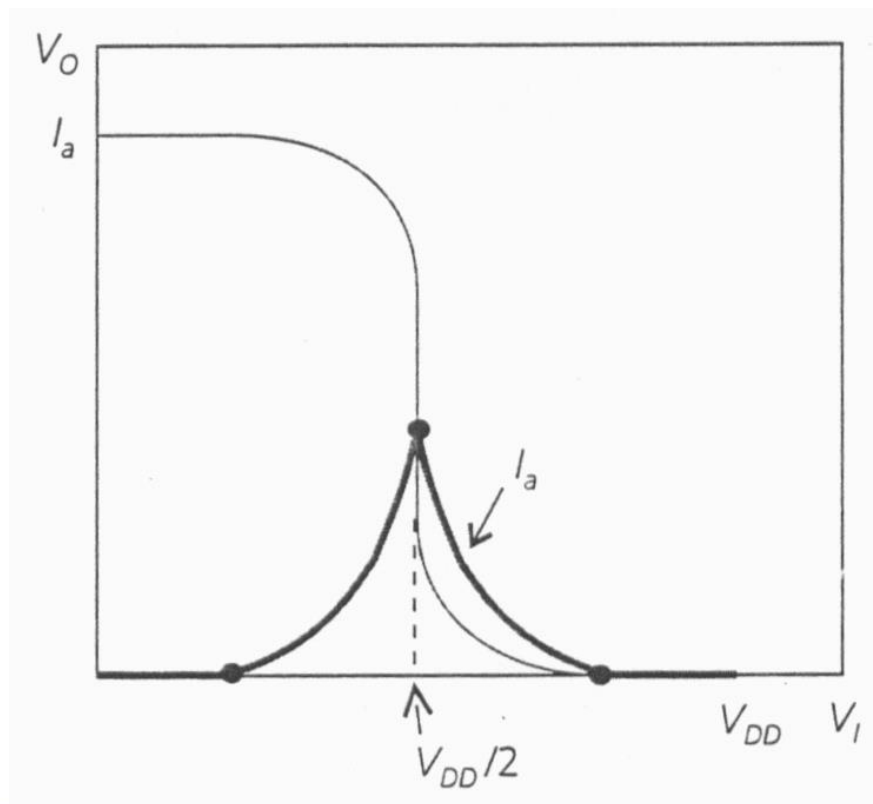
Calcolo di PD'

- Ipotesi: Andamento lineare nel tempo di V_I durante le transizioni:

$$V_I = \alpha t \quad \longrightarrow \quad dt = \frac{dV_I}{\alpha}$$

$$V_T < V_I < \frac{V_{DD}}{2} : \quad I_D = K_N (V_I - V_T)^2$$

Calcolo di PD'



Calcolo di PD'

$$\begin{aligned} P_D' &= \frac{2}{T} \int_0^{\Delta T} V_{DD} I_D(t) dt = \\ &= \frac{4}{\alpha T} \int_{V_T}^{V_{DD}/2} V_{DD} I_D(V_I) dV_I = \\ &= \frac{4 V_{DD} K_N}{3\alpha T} \left(\frac{V_{DD}}{2} - V_T \right)^3 \end{aligned}$$

$$\alpha = \frac{V_{DD}}{2 t_p}$$

Potenza dissipata

$$P_D'' = \frac{C_T V_{DD}^2}{T}$$

$$\frac{P_D'}{P_D''} = \frac{8 t_p K_N}{3 C_T V_{DD}^2} \left(\frac{V_{DD}}{2} - V_T \right)^3$$

$$\frac{P_D'}{P_D''} \propto \frac{t_p K_N}{C_T}$$

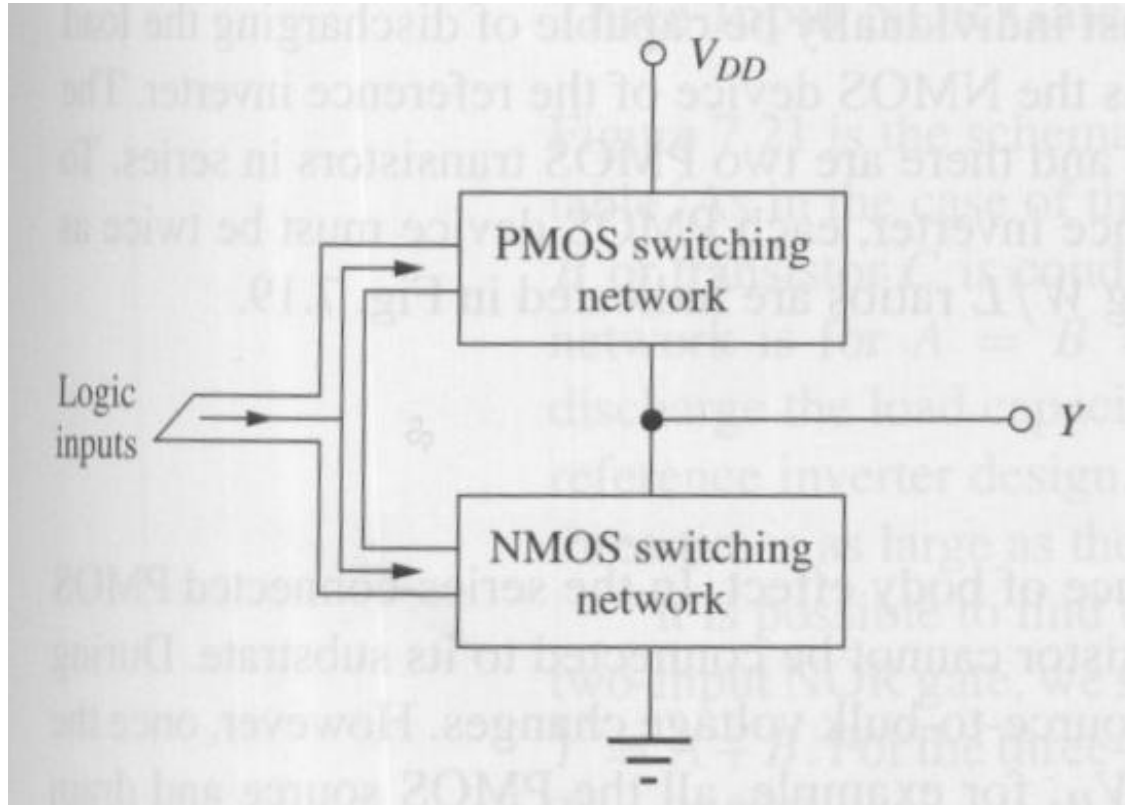


Invariante progettuale!

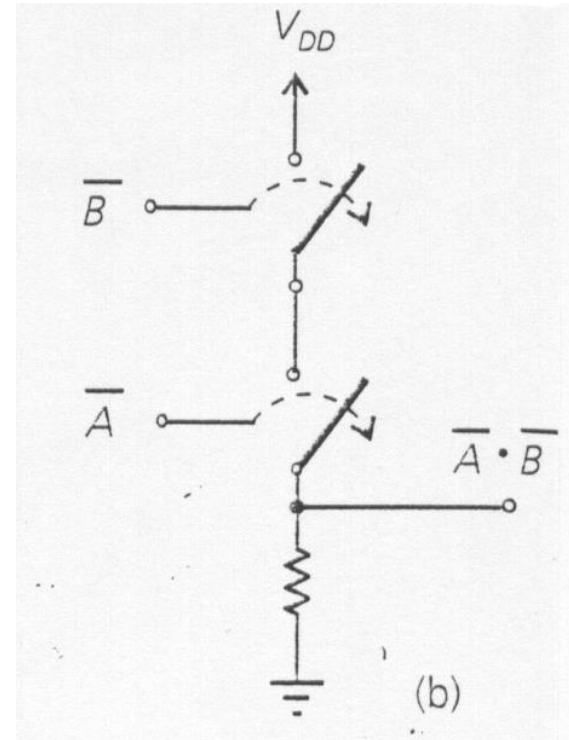
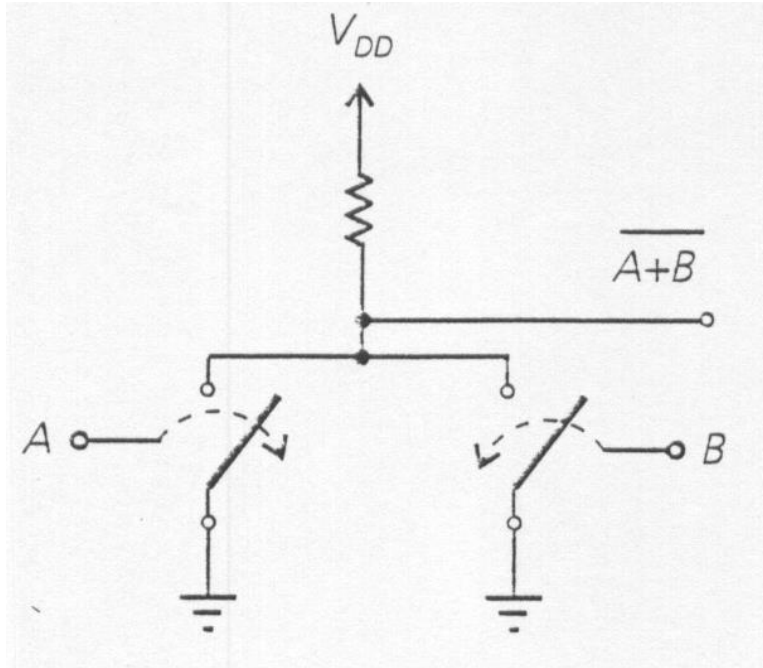
In genere:

$$\frac{P_D'}{P_D''} < 0.1$$

Porte logiche CMOS



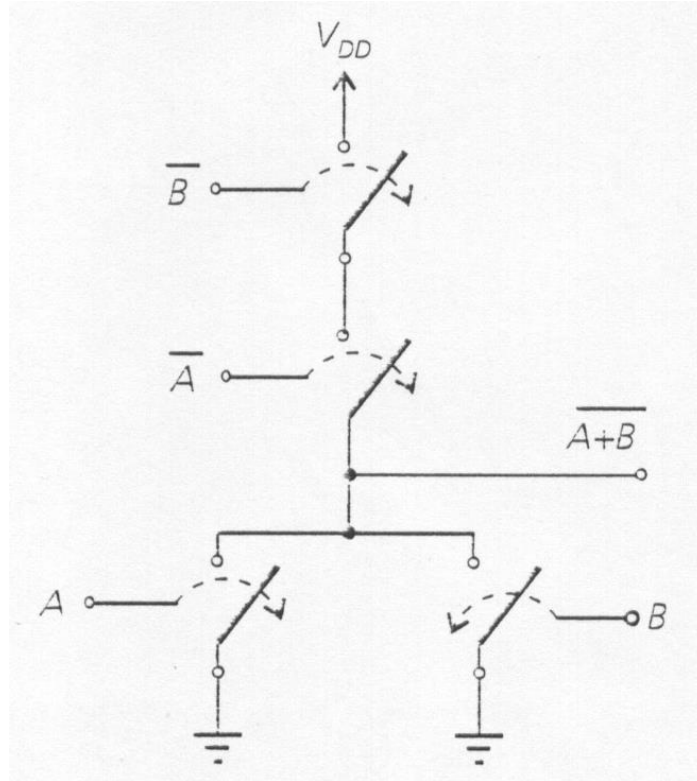
Porte logiche CMOS



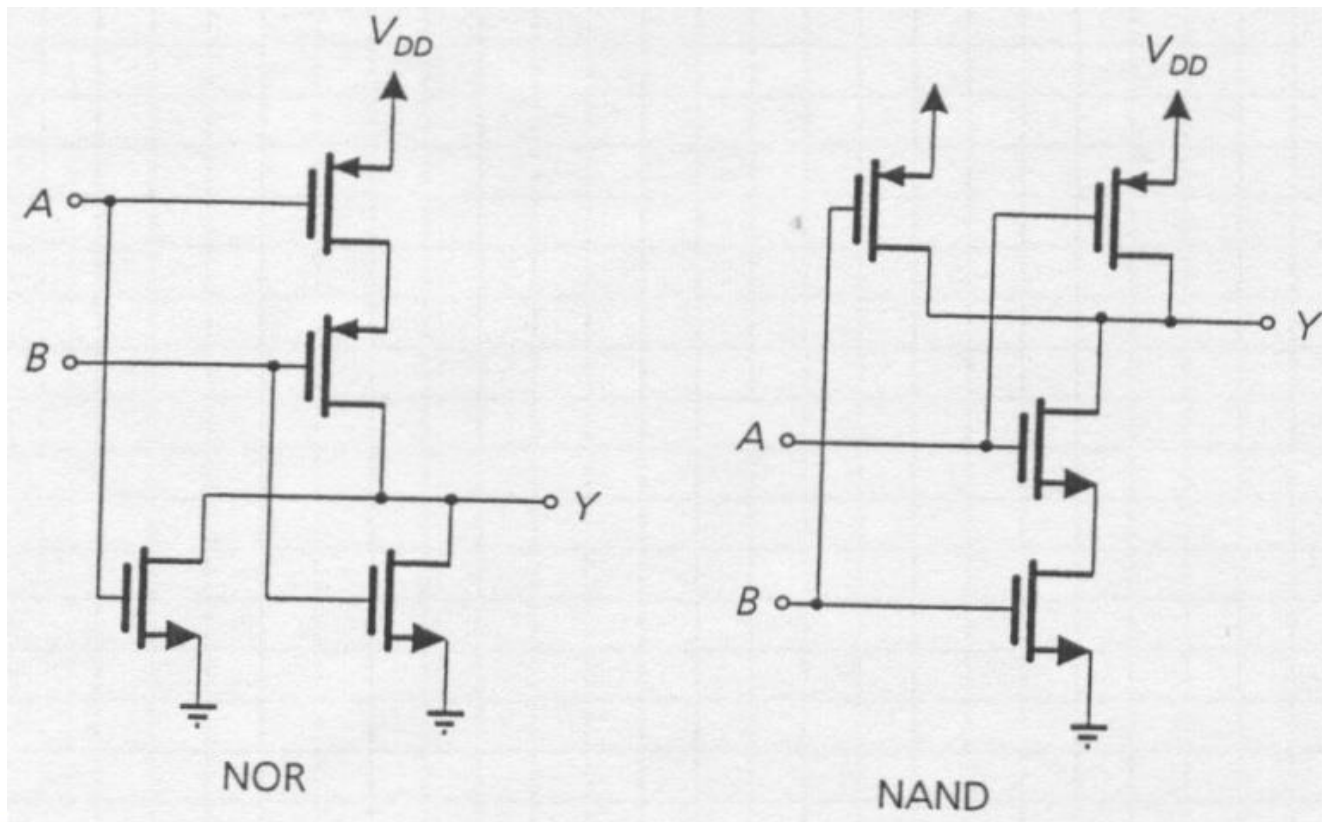
NOR

Porte logiche CMOS

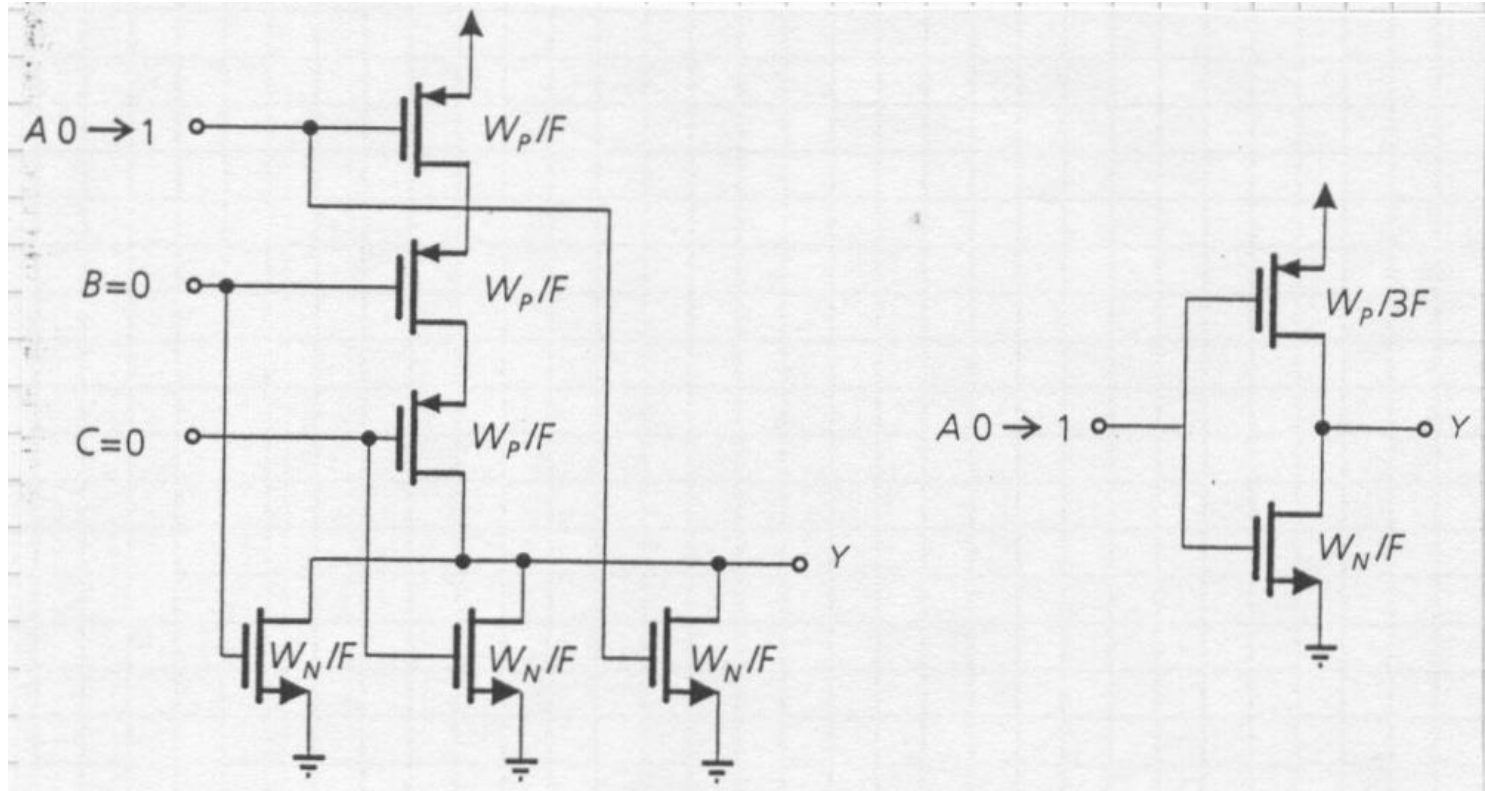
NOR



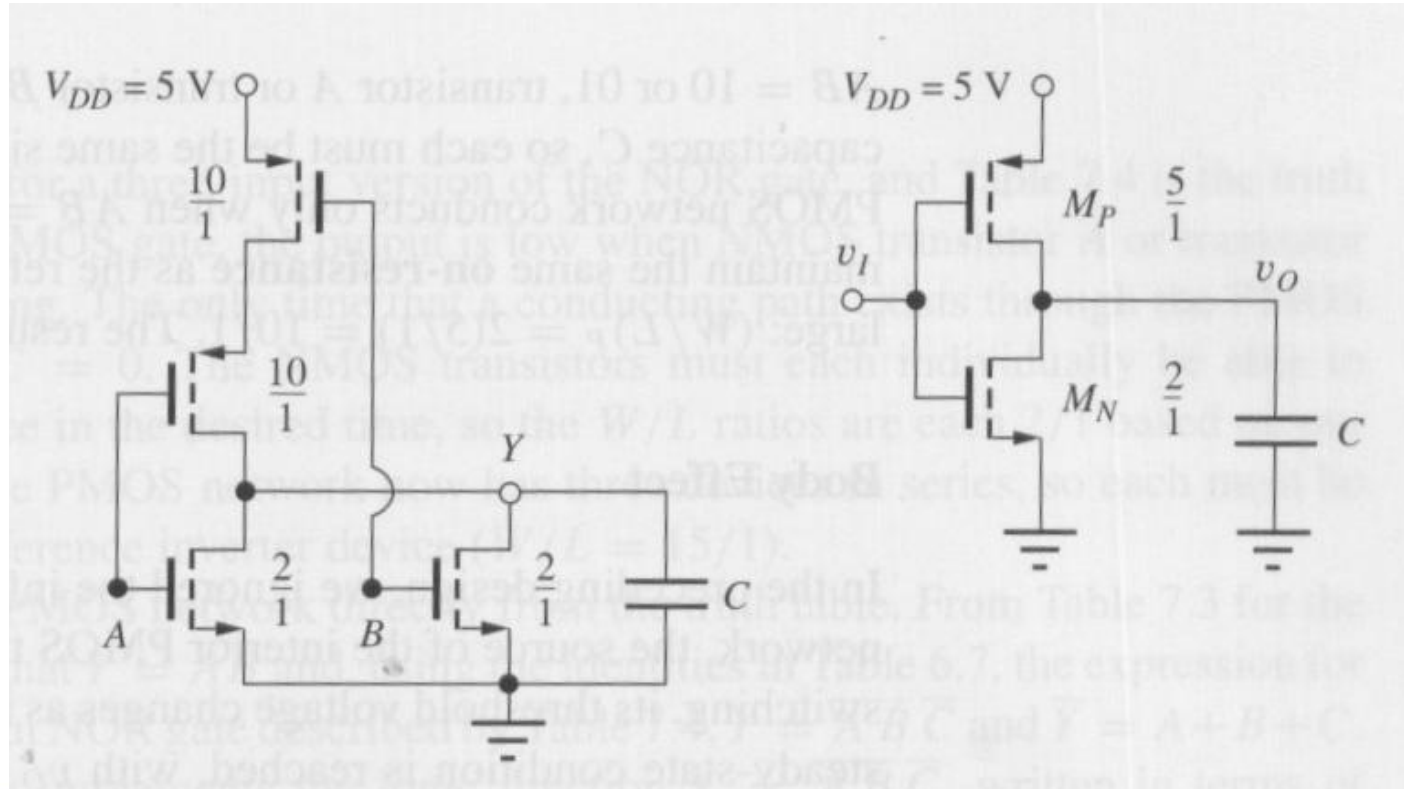
Porte logiche CMOS



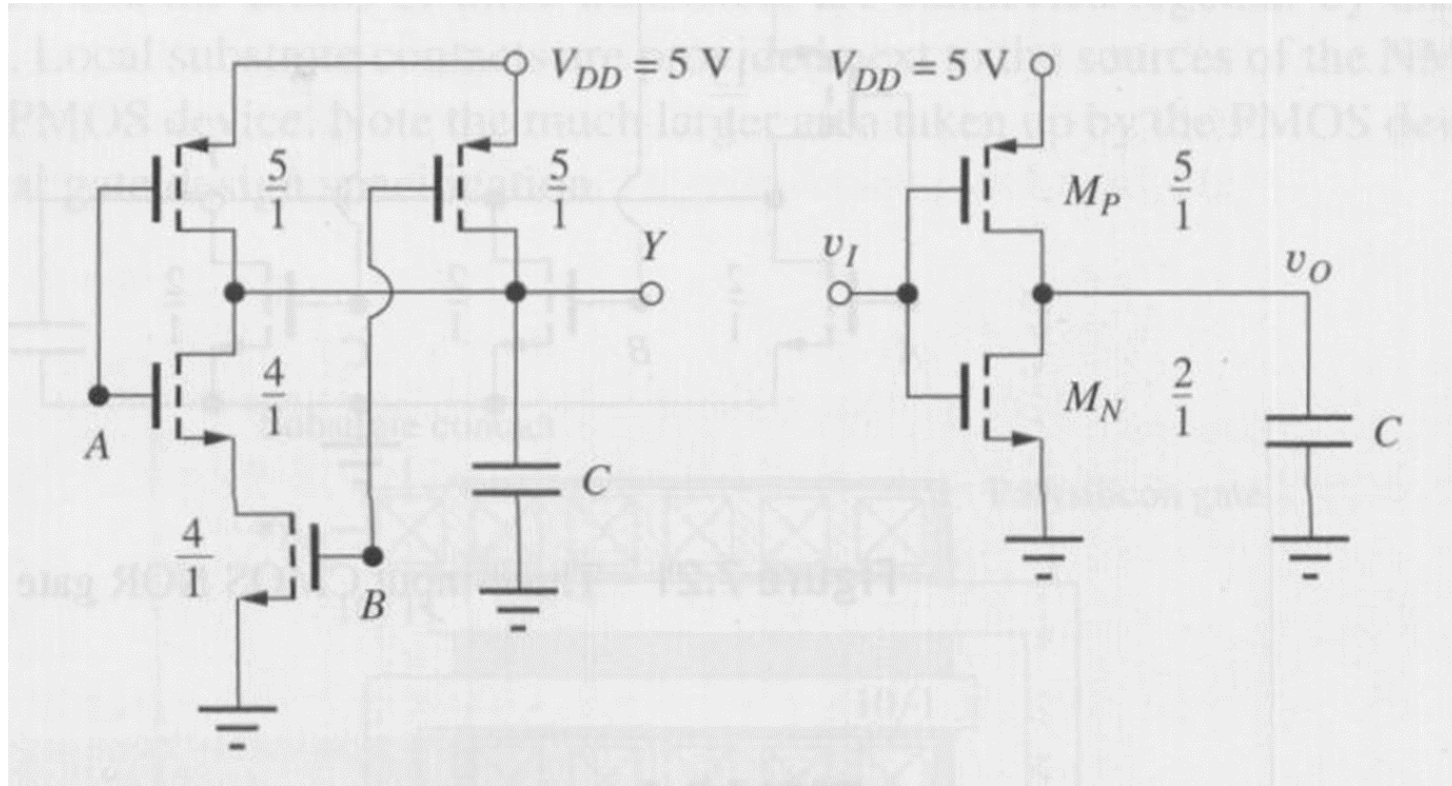
Invertitore equivalente



Progetto porta NOR



Progetto porta NAND



Confronto aree NOR – NAND

- Progetto a parità di prestazioni con un invertitore avente $K_P = K_N$ e fattori di forma $\frac{W_P}{F} = \frac{2.5 W_N}{F}$.

- **NOR:** $t_{PLH} = t_{PHL}(w.c.)$  $K_{Peq} = K_N$

$$W_N(NOR) = W_N$$

$$W_P(NOR) = 2.5 N W_N$$

- **NAND:** $t_{PLH}(w.c.) = t_{PHL}$  $K_P = K_{Neq}$

$$W_N(NAND) = N W_N$$

$$W_P(NOR) = 2.5 W_N$$

Confronto aree NOR – NAND

$$\begin{aligned} \text{Area (NOR)} &= N W_N F + N (2.5 W_N N) F \\ &= N (1 + 2.5 N) W_N F \end{aligned}$$

$$\begin{aligned} \text{Area (NAND)} &= N (W_N N) F + N (2.5 W_N) F \\ &= N (N + 2.5) W_N F \end{aligned}$$

Progetto ad area minima

- Certe volte si considera area per NMOS e PMOS fissata pari all'invertitore di base.
 - NMOS: $W/L = 3\lambda/2\lambda$
 - PMOS: $W/L = 2.5 \cdot 3\lambda/2\lambda$
- Le porte NAND e NOR avranno uguale area ma tempi di propagazione t_{PHL}, t_{PLH} diversi.
- Tempi di propagazione peggiore:
 - determinato dalla attivazione del ramo con i dispositivi in serie.

Progetto ad area minima

$$t_{PHL}(NAND) \propto \frac{C_T}{K_{N\ eq}}$$

$$t_{PLH}(NOR) \propto \frac{C_T}{K_{P\ eq}}$$

Con: $\left. \frac{W}{L} \right|_P = 2.5 \left. \frac{W}{L} \right|_N \quad \rightarrow \quad K_{P\ eq} = K_{N\ eq}$

$$t_{PHL}(NAND) = t_{PLH}(NOR)$$

FAN-IN: caso progetto ad area minima

Ritardo dell'invertitore:

$$t_{PHL} = t_{PLH} \cong \frac{C_T V_{DD}}{2 K_N (V_{DD} - V_T)^2} = t_{P_0}$$

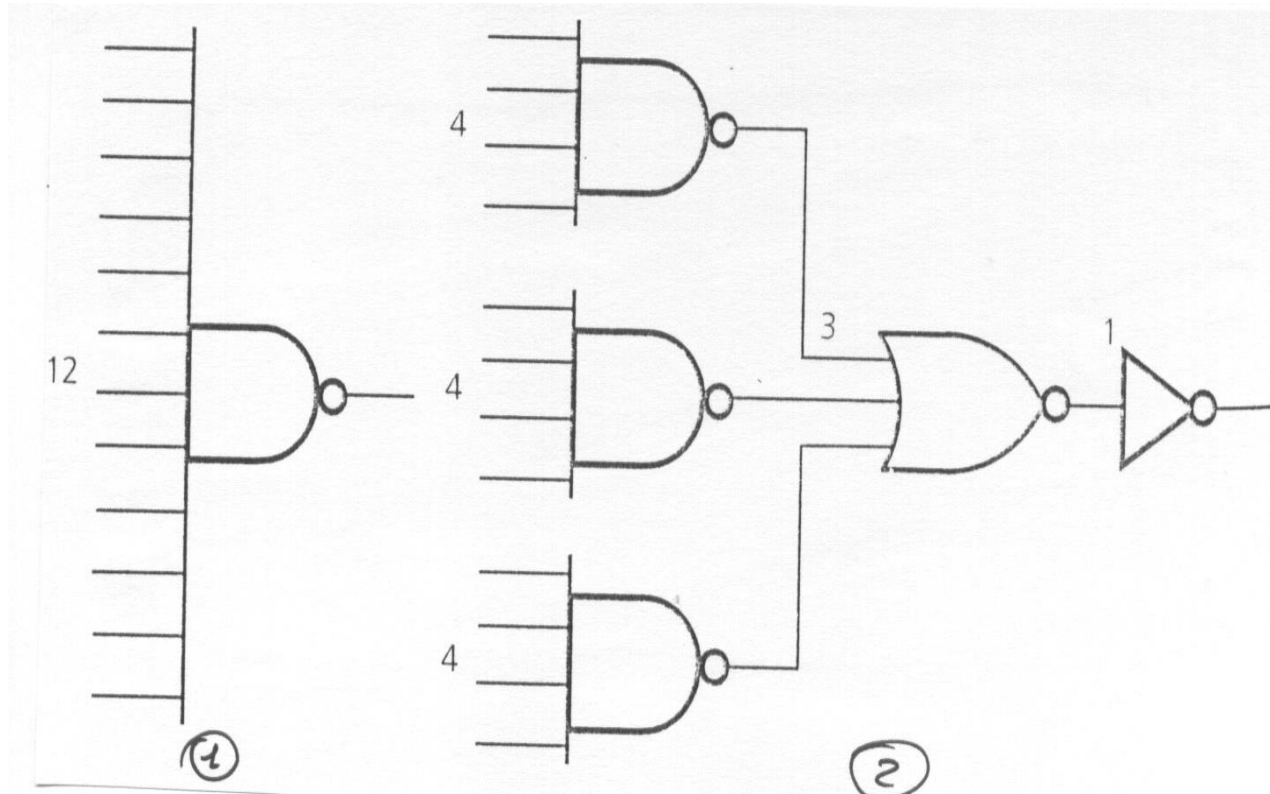
Ritardo peggiore nella porta NOR:

$$t_{PLH} \cong \frac{N C_T V_{DD}}{2 K_N (V_{DD} - V_T)^2} = N t_{P_0}$$

Ritardo peggiore nella porta NAND:

$$t_{PHL} \cong \frac{N C_T V_{DD}}{2 K_N (V_{DD} - V_T)^2} = N t_{P_0}$$

Per elevati FAN-IN

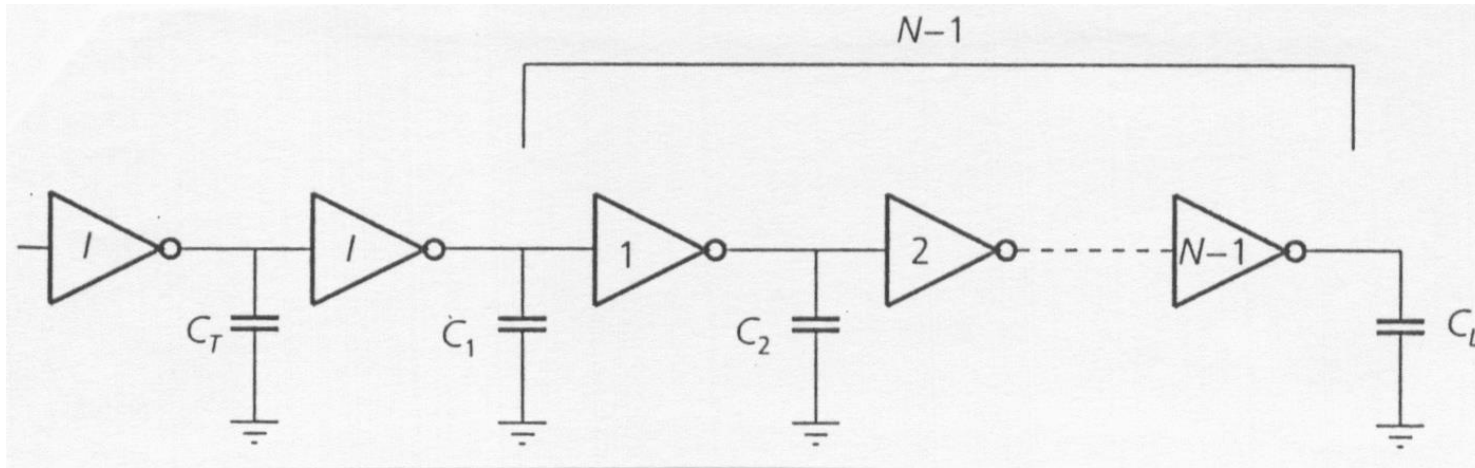


FAN-OUT

$$t_P \cong \frac{N \cdot 3.5 \cdot C_G \cdot V_{DD}}{2 \cdot K_N \cdot (V_{DD} - V_T)^2} = N \cdot t_{P_0}$$

- 5-6 se vogliamo limitare il peggioramento del ritardo entro un ordine di grandezza

Progetto porta NOR



$$G = \frac{K_{J+1}}{K_J} \quad \longrightarrow \quad G = \frac{C_{J+1}}{C_J}$$

$$\frac{C_L}{C_T} = \frac{C_L}{C_{N-1}} \cdot \frac{C_{N-1}}{C_{N-2}} \cdot \dots \cdot \frac{C_1}{C_T} = G^N$$

Stadi separatori di uscita

$$N = \frac{1}{\ln G} \ln \left(\frac{C_L}{C_T} \right)$$

$$t_{P_0} \propto \frac{C_1}{K} = G \frac{C_T}{K}$$



$$t_{P_0} = G t_P$$

$$t_{P_1} \propto \frac{C_2}{K_1} = \frac{G^2 C_T}{G K}$$



$$t_{P_1} = G t_P$$

$$t_{P_{N-1}} \propto \frac{C_L}{K_{N-1}} = \frac{G^N C_T}{G^{N-1} K}$$



$$t_{P_{N-1}} = G t_P$$

Stadi separatori di uscita

$$t_{P_{TOT}} = \sum_{i=1}^{N-1} t_{P_i} = N G t_P$$

$$t_{P_{TOT}} = \frac{1}{\ln G} \ln \left(\frac{C_L}{C_T} \right) G t_P$$

$$\frac{d t_{P_{TOT}}}{d G} = 0$$



$$\ln G_{opt} = 1$$

$$G_{opt} = e \cong 2.7$$

Stadi separatori di uscita

$$N_{opt} = \ln\left(\frac{C_L}{C_T}\right)$$

$$t_{P_{TOT}opt} = 2.7 \ln\left(\frac{C_L}{C_T}\right) t_P$$

Da confrontare con:

$$t_P' = \frac{C_L}{C_T} t_P$$

Stadi separatori di uscita: esempio

$$C_L = 10 \text{ pF}$$

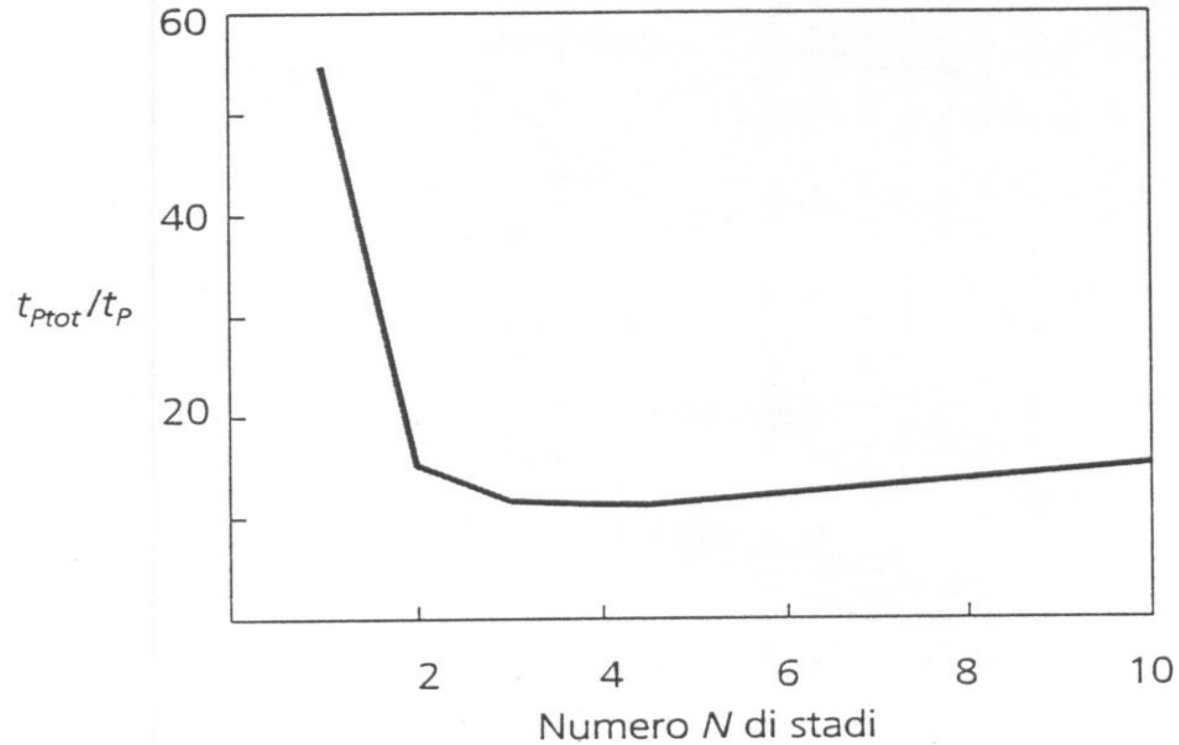
$$C_T = 188 \text{ fF}$$

$$\ln\left(\frac{C_L}{C_T}\right) = \ln\left(\frac{10 \cdot 10^{-12}}{188 \cdot 10^{-15}}\right) = \ln 53,1 \cong 4 = N$$

$$t_{P_{TOTopt}} = 11 \cdot t_p$$

$$t_p' = 53 \cdot t_p$$

Stadi separatori di uscita: esempio



Riduzione di scala

$$t_P = \frac{3.5 C_{GN} V_{DD}}{2 K_N (V_{DD} - V_T)^2}$$

$$P_D = 3.5 f C_G V_{DD}^2$$

$$f = \frac{1}{T}$$

$$P \cdot D = 3.5 \frac{t_P}{T} C_G V_{DD}^2$$

$$C_G = W L \varepsilon_{ox} / t_{ox}$$

$$K_N = \frac{1}{2} \mu_N \frac{\varepsilon_{ox} W}{t_{ox} L}$$

Riduzione di scala

Tabella 5.3 Regole di scala per circuiti CMOS.

Grandezza	Scalamento completo
W, L, t_{OX}	$1/x$
V_{DD}, V_T, N_{SI}	$1/x$
C_G	$1/x$
K	x
Ritardo di propagazione t_p	$1/x$
Potenza dissipata P_D	$(1/x)^2$
Prodotto Ritardo-Potenza $P \cdot D$	$(1/x)^3$

Vedere:

- Paolo Spirito, “Elettronica Digitale”, Ed. McGraw-Hill
 - Cap. 5.1-5.3
 - Cap. 5.5-5.9
 - Cap. 5.11